

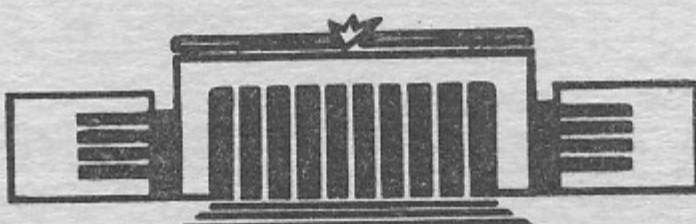
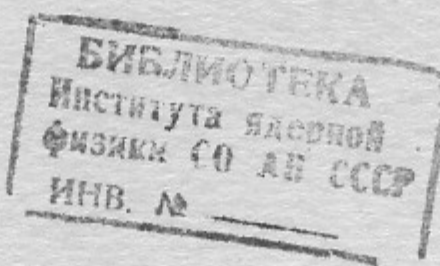


Д.45

ИНСТИТУТ ЯДЕРНОЙ ФИЗИКИ СО АН СССР

Н.С.Диканский, Д.В.Пестриков
К ТЕОРИИ СТОХАСТИЧЕСКОГО ОХЛАЖДЕНИЯ

ПРЕПРИНТ 83—65



НОВОСИБИРСК

К ТЕОРИИ СТОХАСТИЧЕСКОГО ОХЛАЖДЕНИЯ
Н. С. Диканский, Д. В. Пестриков

А Н Н О Т А Ц И Я

В работе изучаются особенности кинетики стохастического охлаждения пучка в условиях, когда взаимодействие частиц через демифицирующую систему является преобладающим. При этом благодаря макроскопически большому размеру области взаимодействия частиц экранирование в такой системе может наступить раньше, чем частицы покидают область взаимодействия. Это приводит к ассимптотическому уменьшению декрементов в процессе охлаждения. Изменение параметров цепи обратной связи не улучшает скорость охлаждения. В работе обсуждаются особенности построения кинетического уравнения для пучка, взаимодействующего с системой стохастического охлаждения.

I. Одним из разработанных к настоящему времени методов охлаждения пучков тяжелых частиц является, предложенный С. ван-дер Меером [1], метод стохастического охлаждения. В этом методе сигнал с пикап-электрода, пропорциональный отклонению частицы от равновесной орбиты, через цепь широкополосной обратной связи подается на элемент, корректирующий это отклонение (киккер) [1,2]. При правильном подборе фазовых соотношений в цепи обратной связи взаимодействие частиц с такой системой приводит к охлаждению пучка. Как и в других методах, эффект охлаждения связан с диссипативностью элементов демодифицирующей системы [3].

Сравнительная низкочастотность элементов, которые могут быть использованы в таком методе, существенно осложняет описание кинетики процесса из-за необходимости учета взаимного влияния охлаждаемых частиц. Сигнал, наведенный данной частицей, существует на киккере в течение времени $\sim W^{-1}$, определяемого полосой пропускания системы W . Поэтому частицы, отстоящие по азимуту на расстояние $\Delta\theta \leq \omega_0/W$ (ω_0 – частота обращения), взаимодействуют друг с другом через систему охлаждения. По мере охлаждения пучка длительность такого взаимодействия возрастает. Поэтому, вообще говоря, взаимное влияние частиц усиливается.

Теоретический анализ метода выполнялся различными авторами [2+6]. В работах [3+5], в рамках традиционного подхода, получено кинетическое уравнение, учитывающее взаимодействие частиц через систему охлаждения. Было выяснено, что кинетика процесса описывается очень сложным, нелинейным кинетическим уравнением. В работе [3], на основе полученного уравнения, проведено качественное исследование особенностей охлаждения, обвязанных эффектам взаимного влияния частиц.

В работе [6] особенности процесса охлаждения исследовались на основе простой решаемой модели, а также численным моделированием движения частиц на ЭВМ. Этот метод в определенном смысле альтернативен методу работ [2+5], так как при численном моделировании нет необходимости использовать предположения, используемые при построении кинетических уравнений. Результаты работ [6] и [2+5] отличаются предсказанием асимптотического поведения декрементов охлаждения при увеличении фазовой плотности пучка ($\sim N/4\omega$, где N – число частиц в пучке, 4ω – раз-

брос частот обращения). Таким образом, различие попадает именно в ту область, где взаимное влияние частиц пучка является определяющим. Причина такого различия существенным образом связана с процедурой построения самого кинетического уравнения. Поэтому исследование этого вопроса представляет заметный интерес.

Целью нашей работы является построение кинетического уравнения для наиболее простого случая стохастического охлаждения по импульсам азимутально-однородного пучка.

2. Прежде чем строить кинетическое уравнение рассмотрим простую модель, использовавшуюся при вычислениях в работе [6]. Пусть пучок разбит на группы (образцы) азимутальной протяженности θ_0 . Среднее число частиц, приходящееся на группу, равно $\hat{N} = N\theta_0/2\pi$. В соответствии с основной идеей метода [1] положим, что сила, действующая на частицы данной группы пропорциональна "дипольному" моменту группы:

$$\dot{P}_a = -\lambda_0 \hat{N} \varPhi(t), \quad \varPhi(t) = \frac{1}{\hat{N}} \sum_{a=1}^{\hat{N}} P_a(t), \quad (I)$$

$$\dot{\theta}_a = \omega'_a P_a$$

Здесь $\omega_a = \omega_0(p_a)$ частота обращения частицы a , $\omega'_a = d\omega/dp$; импульс частицы P_a отсчитывается от равновесного значения. Постоянная λ_0 имеет смысл декремента затухания одной частицы. Выбор силы в форме (I) отвечает такой задержке в цепи обратной связи, чтобы самодействие частицы было максимальным.

Как видно из (I), пока ни одна из частиц группы не покинула интервал θ_0 , дипольный момент \varPhi экспоненциально затухает с декрементом $\Delta = \lambda_0 \hat{N}$, а движение частиц описывается выражениями

$$P_a(t) = P_{a0} e^{-\Delta t}, \quad (2)$$

$$\theta_a(t) \approx \omega'_a P_a t,$$

P_{a0} и \varPhi_0 — начальные значения импульсов и дипольного момента группы. Заметим, что дисперсия по импульсам частиц в группах при таком движении постоянна:

$$\sum_a (P_a - \bar{P})^2 = \sum_a (P_{a0} - \bar{P}_0)^2. \quad (3)$$

Уравнения (2) показывают, каким образом происходит уменьшение дипольного момента группы. Пусть, например, $P_{a0} = P_0$, а $P_{a0} = 0$ ($a = 2 \dots \hat{N}$). Тогда (2) дает

$$P_1(t \gg \Delta^{-1}) = P_0 \left(1 - \frac{1}{\hat{N}}\right), \quad P_a = -\frac{P_0}{\hat{N}},$$

то есть затухание дипольного момента связано с нарастанием коллективного отклика группы. В результате такого нарастания, через $t > \Delta^{-1}$ сила, действующая на частицы группы, практически обращается в нуль. Другими словами, поле, наведенное частицей I экранируется остальными частицами за время, порядка Δ^{-1} . Это само по себе неудивительно, однако в отличие от задач с недиссилиативным взаимодействием частиц, время установления экранировки здесь зависит не от разброса импульсов, а от интенсивности взаимодействия с демпфирующей системой.

Переходы частиц из группы в группу вызывают изменение начальных условий в уравнениях (2). Среднее время нахождения частицы в данной группе, очевидно, равно $\tau_0 = \theta_0/\Delta\omega$. Поэтому средняя частота смены начальных условий в (2) порядка $\Delta\omega/\theta_0$.

Используя (2), можно вычислить скорость изменения разброса по импульсам в пучке:

$$\sum_{a=1}^{\hat{N}} \Delta P_a^2 = \sum_{\alpha=1}^{n_{sp}} \sum_{a=1}^{\hat{N}} \Delta P_{a\alpha}^2 = - \sum_{\alpha=1}^{n_{sp}} \hat{N} \varPhi_{\alpha 0}^2 (1 - e^{-2\Delta t}).$$

Выполнив здесь статистическое усреднение ($\sum \Delta P_a^2 = N \Delta^2$, $\overline{\varPhi_{\alpha 0}^2} = 0$, $\overline{\varPhi_{\alpha 0}^2} = \Delta^2/\hat{N}$) и поделив на среднее время пребывания частицы в данной группе τ_0 , получим

$$\frac{d\Delta^2}{dt} = -\frac{\Delta^2}{\hat{N} \tau_0} (1 - e^{-2\Delta t}). \quad (4)$$

Уравнению (4) отвечает декремент охлаждения:

$$\lambda = -\frac{1}{2\Delta^2} \frac{d\Delta^2}{dt} = \lambda_0 \frac{1 - e^{-2\Delta \tau_0}}{2\Delta \tau_0}, \quad (5)$$

или

$$\lambda = \frac{2\pi \Delta \omega}{N \theta_0^2} \left[1 - \exp\left(-\frac{N \theta_0^2 \lambda_0}{\pi \Delta \omega}\right) \right]. \quad (5a)$$

Хотя выражение (5a) формально и отличается от результата оценок проводившихся в [6], оно приводит к тому же поведению декремента при охлаждении пучка ($\Delta \omega \rightarrow 0$). Можно проверить, что

(5a) согласуется и с результатами численного счета [6] для линейной зависимости силы трения от импульсов.

В отличие от работ [2+5], предсказывающих падение декремента как I/N^2 при большой фазовой плотности, формулы (5), (5a) дают монотонное уменьшение декремента до

$$\lambda_{min} = \frac{2\pi\omega}{N\theta_0^2}.$$

Причем такое уменьшение связано с экранированием поля данной частицы остальными за время $\tilde{\tau}_c$, находления частицы в группе.

Эвристическая ценность описанной модели определяется тем, что в ней явным образом учитывается регенерация начальных условий по флюктуациям (в среднем через время $\tilde{\tau}_c$).

3. Для построения кинетического уравнения воспользуемся формализмом микроскопической фазовой плотности [7]. В этом методе различные функции распределения образуются статистическим усреднением степеней микроскопической плотности пучка в фазовом пространстве:

$$F(\rho, \theta, t) = \sum_{a=1}^N \delta(\theta - \theta_a(t)) \delta(\rho - \rho_a(t)). \quad (7)$$

Здесь a — нумерует частицы, N — число частиц в пучке, $\theta = \theta_a(t)$, $\rho = \rho_a(t)$ — траектория частицы a , импульс ρ отсчитывается от равновесного значения. Одночастичная функция распределения определяется средним значением F :

$$f(\rho, t) = \langle F \rangle \quad (8)$$

При этом

$$\delta F = F - f \quad (9)$$

определяет флюктуации F относительно среднего значения. По определению, f нормировано на число частиц в пучке:

$$\int d\rho f(\rho, t) = N.$$

Нам нас будет интересовать эволюция f на больших временах. Поэтому можно считать, что f в (8) не зависит от азимута частиц θ . Такое предположение эквивалентно требованию выполнения условий устойчивости когерентных колебаний пучка. Исследование этого вопроса само по себе является замкнутой задачей и здесь проводиться не будет.

Как известно [7], кинетическое уравнение для f строится выделением из уравнения Лиувилля

$$\frac{\partial F}{\partial t} + \omega_c(\rho) \frac{\partial F}{\partial \theta} + eE(\theta, t) \frac{\partial F}{\partial \rho} = 0 \quad (10)$$

флюктуационной части. Здесь ω_c — частота обращения, E — продольная компонента поля, наведенная пучком. Возможность использования уравнения Лиувилля вместо обычного уравнения непрерывности связана с тем, что, в интересующих нас задачах, дисипативными фактически являются переменные поля, тогда как переменные частицы формально удовлетворяют гамильтоновым уравнениям.

Предполагая выполнение требуемой иерархии времен, в приближении парных корреляторов получим:

$$\frac{\partial f}{\partial t} = - \frac{\partial}{\partial \rho} \int \frac{d\theta}{2\pi} \langle e \delta E(\theta, t) \delta F(\rho, \theta, t) \rangle, \quad (II)$$

$$\left(\frac{\partial}{\partial t} + \omega_c(\rho) \frac{\partial}{\partial \theta} \right) \delta F(\rho, \theta, t) = - e \delta E(\theta, t) \frac{\partial f}{\partial \rho}. \quad (I2)$$

В соответствии с общим методом [7], интеграл столкновений в (II) определяется одновременным коррелятором δE и δF . Динамика самих флюктуаций определяется уравнением (I2) и уравнениями поля.

Важным элементом построения интеграла столкновений является выполнение операции усреднения. Строго говоря, среднее в (8), (II) следует понимать, как среднее по достаточно длительному интервалу времени:

$$\langle \dots \rangle \equiv \frac{1}{T} \int_0^T dt (\dots) \quad (I3)$$

Причем интервал усреднения должен выбираться в соответствии с иерархией времен

$$\tilde{\tau}_{cr} \ll T \ll \tilde{\tau}_p,$$

где $\tilde{\tau}_p$ — время релаксации f , $\tilde{\tau}_{cr}$ — время корреляции ("столкновения"). Входящий в (II) коррелятор посредством уравнений поля выражается через (неодновременный) коррелятор $\langle \delta F(\rho_1, \theta_1, t_1) \delta F(\rho_2, \theta_2, t_2) \rangle$. Ясно, что в последний дают вклад только те частицы, которые отстоят друг от друга на дальние радиуса действия сил θ_{ij} . Среднее время жизни таких флюктуаций оп-

ределяется средним временем выхода частиц из области взаимодействия ($\bar{\tau}_o = \theta_o / \Delta\omega$, $\Delta\omega$ – разброс частот в пучке). На интервале $\bar{\tau}_o$ развитие флюктуации определяется уравнением (I2) и начальным значением $\delta F(\rho, \theta, t = t_o)$. В среднем, по истечении $\bar{\tau}_o$ часть частиц покидает область взаимодействия и начальное значение δF меняется. Поэтому при вычислении коррелятора в (II) использование решений (I2) с определенными начальными условиями законно лишь на интервалах времени, порядка $\bar{\tau}_o$. Если предположить, что флюктуации в пучке рождаются статистически независимо, то среднее в (I3) можно переписать в виде

$$\frac{1}{\bar{\tau}} \int_0^{\bar{\tau}} dt (\dots) = \frac{1}{\bar{\tau}_o} \int_0^{\bar{\tau}_o} dt \langle\langle \dots \rangle\rangle, \quad (I3a)$$

где $\langle\langle \dots \rangle\rangle$ – означает усреднение по начальным флюктуациям δF .

Таким образом, (II) переходит в уравнение

$$\frac{\partial f}{\partial t} = - \frac{\partial}{\partial \rho} \int_0^{\bar{\tau}_o} \frac{dt}{\bar{\tau}_o} \int_0^{\bar{\tau}_o} \frac{d\theta}{\bar{\tau}_o} \langle\langle e \delta E(\theta, t) \delta F(\rho, \theta, t) \rangle\rangle. \quad (I4)$$

Построение кинетического уравнения завершается подстановкой в (I4) решения (I2) и усреднением по начальным флюктуациям. При статистически независимом рождении флюктуаций такое усреднение проводится по формуле [7]:

$$\langle\langle \delta F_n(\rho, 0) \delta F_{n'}^*(\rho', 0) \rangle\rangle = \delta_{n,n'} \delta(\rho - \rho') f \quad (I5)$$

где δF_n – Фурье-гармоника δF по азимуту:

$$\delta F(\rho, \theta, t) = \sum_{n=-\infty}^{\infty} \delta F_n(\rho, t) e^{in\theta}. \quad (I6)$$

Важным отличием уравнения (I4) от уравнений, полученных в работах [3+5], является то, что в интеграле столкновений появляются дополнительные слагаемые, обусловленные вкладом коллективного спектра пучка. Вклад этих слагаемых становится существенным, если коллективное движение успевает развиваться за время $\bar{\tau}_k$ меньшее (либо порядка) $\bar{\tau}_o$. В задаче о стохастическом охлаждении пучка, как и в других задачах о взаимодействии пучка с окружающими электродами, выполнение этого условия облегчается тем, что размер области взаимодействия θ_o макроскопически велик. Наоборот, в задачах с микроскопически малым размером области взаимодействия, почти всегда $\bar{\tau}_k \gg \bar{\tau}_o$. При этом интегрирование по t в (I4) фактически снимается и уравнение

переходит в хорошо известное кинетическое уравнение [5,7], которое может быть сведено к уравнению типа уравнения Леннарда-Балеску:

$$\frac{\partial f}{\partial t} = - \frac{\partial}{\partial \rho} \int_0^{\bar{\tau}_o} \frac{d\theta}{\bar{\tau}_o} \langle\langle e \delta E(\theta, t) \delta F(\rho, \theta, t) \rangle\rangle.$$

4. Само по себе уравнение (I4) является столь же сложным, нелинейным уравнением, как и уравнения в работах [3+5]. Однако зависимость декрементов охлаждения от числа частиц в пучке N может быть исследована с помощью более простых уравнений Ланжевена. Умножив (I4) на ρ^2 и проинтегрировав по импульсам, получим:

$$\frac{d\Delta^2}{dt} = - \frac{g_e}{N} \int_0^{\bar{\tau}_o} \frac{dt}{\bar{\tau}_o} \sum_{n=-\infty}^{\infty} \langle\langle \delta E_n(t) \tilde{\int} d\rho \rho^2 \delta F_n(\rho, t) \rangle\rangle \quad (I7)$$

Здесь проведено разложение δE и δF по Фурье-гармоникам согласно (I6); а

$$\Delta^2 = \frac{1}{N} \int d\rho \rho^2 f(\rho, t)$$

разброс по импульсам в пучке.

Для дальнейшего вычисления необходимо указать связь δE_n с $\delta F_n(\rho, t)$ и найти решение уравнения (I2). Например, модели рассмотренной в предыдущем пункте отвечает

$$e \delta E_n(t) = - \lambda_0 g_n \tilde{\int} d\rho \rho^2 \delta F_n(\rho, t) \quad (I8)$$

где g_n – Фурье-образ ступенчатой функции

$$g(\theta) = \begin{cases} 1 & , |\theta| < \theta_o/2, \\ 0 & , |\theta| > \theta_o/2. \end{cases}$$

Если говорить о системе обратной связи, форм-фактор g_n содержит информацию об отклике пикап-электрода и киккера, а также о частотной зависимости коэффициента усиления. Как уже говорилось, запись поля в форме (I8) отвечает такому выбору задержки в цепи обратной связи, чтобы самодействие частиц было максимальным. Легко проверить, что конкретизация демпфирующей системы, например, как в [8], несколько меняющая прединтегральный множитель, не меняет сути дела.

Выполняя в (I2) одностороннее преобразование Фурье по времени:

$$\delta F_n(p, \omega) = \int_0^\infty dt \delta f_n(p, t) e^{i\omega t} \quad (19)$$

и воспользовавшись (18), получим

$$\delta \varphi_{n\omega} = \int_{-\infty}^{\infty} dp p \delta F_n(p, \omega), \quad (20)$$

$$\delta \varphi_{n\omega} = \frac{i}{\varepsilon_n(\omega)} \int_{-\infty}^{\infty} dp \frac{p \delta F_n(p, 0)}{\omega - n\omega_0(p) + i\Delta},$$

$\delta F_n(p, 0)$ — начальное значение флюктуации; $\Delta \rightarrow +0$ определяет правило обхода полюсов. Входящая в (20) величина

$$\varepsilon = 1 - i \frac{\lambda_0 g_n \Delta \omega}{n \omega_0} \int_{-\infty}^{\infty} dp \frac{f'}{\Delta \omega - n\omega' p}, \quad (21)$$

$\Delta \omega = \omega - n\omega_s$, $\omega_0 = \omega_0 + \omega_0' p$, как и в теории плазмы, имеет смысл диэлектрической проницаемости пучка и, посредством дисперсионного уравнения

$$\varepsilon_n(\omega) = 0 \quad (22)$$

определяет спектр колективных колебаний. Например, в отсутствии разброса частот обращения

$$f(p) = N \delta(p)$$

собственные частоты (22) равны

$$\omega = n\omega_s - i N \lambda_0 g_n \quad (23)$$

Поэтому условие устойчивости когерентных колебаний пучка выполнено для основных гармоник $n\theta_0 < 2\pi$. Для пучка с конечным разбросом частот устойчивость более высоких гармоник может обеспечиваться затуханием Ландау³⁾.

Характер зависимости флюктуации дипольного момента (20) от времени определяется соотношением вносимого демпфирующей системой декремента когерентных колебаний (23) и разброса частот обращения. Если разброс частот в пучке велик ($|n\omega| \gg \Lambda_n = N \lambda_0 g_n$), то

$$\delta \varphi_n(t) = \int_{-\infty}^{\infty} \frac{d\omega}{2\pi} \delta \varphi_{n\omega} e^{-i\omega t} \simeq \int_{-\infty}^{\infty} dp \frac{p \delta F_n(p, 0)}{\varepsilon_n(n\omega_0(p))} e^{-i n \omega_0(p) t}, \quad (24)$$

$$\varepsilon_n(n\omega_0(p)) \simeq 1.$$

3) Впрочем, для более высоких гармоник, в реальных случаях, запись поля в форме (18) может терять смысл.

В обратном предельном случае ($\Delta_n \gg |n\omega|$),

$$\varepsilon_n(\omega)(\omega - n\omega_0) \simeq \omega - n\omega_0 + i\Delta_n \quad (25)$$

$$\delta \varphi_n(t) \simeq e^{-\Lambda_n t} \int_{-\infty}^{\infty} dp p \delta F_n(p, 0).$$

Подставив эти выражения в (17) и выполнив усреднение по начальным флюктуациям (15), получим:

$$\frac{d\Delta^2}{dt} = -9\lambda \Delta^2, \quad (26)$$

$$\lambda = \lambda_0 \sum_n g_n \begin{cases} 1 & , \quad \Lambda_n \ll |n\omega| \\ \frac{1 - e^{-2\Lambda_n \tau_0}}{2\Lambda_n \tau_0} & , \quad \Lambda_n \gg |n\omega|. \end{cases}$$

Или

$$\lambda = \begin{cases} \lambda_0 & , \quad \frac{N \lambda_0 \theta_0^2}{2\pi} < \Delta \omega \\ \frac{n_{max}^2 \Delta \omega}{2\pi N} & , \quad \frac{N \lambda_0 \theta_0^2}{2\pi} \gg \Delta \omega, \quad n_{max} = \frac{\theta_0}{\theta_0}. \end{cases} \quad (27)$$

Таким образом, в согласии с результатами численного моделирования [6], уравнение (14) приводит к асимптотическому ограничению декрементов стохастического охлаждения величиной

$$\lambda_{min} = \frac{n_{max}^2 \Delta \omega}{2\pi N}. \quad (28)$$

Такое поведение декрементов пучка при охлаждении связано с диссипативностью демпфирующего элемента. Наличие быстрого когерентного затухания, обязанного взаимодействию с демпфирующей системой, приводит к возможности установления экранирования раньше, чем частицы покинут область взаимодействия ($\tilde{\tau}_0 \sim \theta_0 / \Delta \omega$). Фактически на каждом отрезке $\tilde{\tau}_0$ частица охлаждается лишь в течение времени нарастания колективного отклика ($\sim \Lambda_n^{-1}$) после чего взаимодействие с системой эффективно прекращается. В результате декременты охлаждения уменьшаются в $\Lambda \tilde{\tau}_0$ раз:

$$\lambda = \frac{\lambda_0}{\Lambda \tilde{\tau}_0} \simeq \lambda_{min}$$

Отсюда, в частности, следует, что изменение коэффициента усиления в цепи обратной связи (λ_0) не может дать выигрыша в скорости охлаждения. Этим уравнение (14) отличается от предсказаний работ [2+5], давших оптимум по охлаждению при $\Lambda \tilde{\tau}_0 \approx 1$.

Измерения, проводившиеся на НАП-М [8], также указывают на асимптотический характер ограничения декрементов при охлаждении пучка.

Выражение (27), при условии $\Lambda \tau_0 \gg 1$, можно рассматривать как первый член разложения декремента охлаждения в ряд по степеням малого параметра $(\Lambda \tau_0)^{-1}$. В этом смысле результаты работ [2+5] отвечают вычислению второго члена такого разложения.

Легко видеть, что замена "линейной" силы трения более сложным выражением

$$e \delta E_n = -\lambda_0 \int_{-\infty}^{\infty} d\rho g_n(\rho) \delta F_n(\rho, t) \quad (28a)$$

не меняет асимптотического выражения (28). При такой замене одновременно меняются одночастичный декремент λ_0 и декремент затухания когерентных колебаний Λ , тогда как $\lambda_{min} \sim (\lambda_0/\Lambda)$ остается неизменным. По существу, это является следствием установленной в [9] теоремы о сумме декрементов когерентных мод.

5. Другим применением изложенного здесь формализма может быть вычисление мощности шума пучка, взаимодействующего с демпфирующей системой. Аналогично [10] определим:

$$Q_n = \frac{1}{T} \int_0^T dt \rho_n^2(t), \quad (29)$$

где $\rho_n(t)$ Фурье гармоника по азимуту флюктуации плотности:

$$\rho(\theta, t) = \int_{-\infty}^{\infty} d\rho \delta F(\rho, \theta, t) \quad (30)$$

Подставив сюда решение уравнения (12) и выполнив в (29) усреднение, получим

$$Q_n = \int_{-\infty}^{\tau_0} \frac{dt}{\tau_0} \ll \left| \frac{1}{2\pi i} \int_{-\infty}^{\infty} \frac{d\omega e^{-i\omega t}}{\varepsilon_n(\omega)} \int_{-\infty}^{\infty} d\rho \frac{\delta F_n(\rho, 0)}{\omega - i\omega(\rho)} \right|^2 \gg. \quad (31)$$

Воспользовавшись (23) и (15), в пределе $\Lambda \tau_0 \gg 1$ получим

$$Q_n \simeq \frac{N}{2\Lambda_n \tau_0} (1 - e^{-2\Lambda_n \tau_0}). \quad (32)$$

Как видно из (31), последнее соотношение фактически можно продолжить и в область $\Lambda \tau_0 < 1$ (поскольку в этой области ε мало отличается от 1). В результате для мощности шума Q_n можем на-

писать:

$$Q_n \simeq \begin{cases} N, & \Lambda \tau_0 \ll 1 \\ \frac{\pi \Delta \omega}{\lambda_0 \theta_0^2}, & \Lambda \tau_0 \gg 1 \end{cases} \quad (33)$$

Полученные формулы описывают подавление шума пучка, взаимодействующего с демпфирующей системой. Ранее аналогичный результат был получен в работе [10] для случая, когда пучок взаимодействует с бездиссилиптивным элементом. Видно, что (33) и результат работы [10]

$$Q_n \simeq N \frac{(n \Delta \omega)^2}{\Omega_n^2}, \quad \left| \frac{\Omega_n}{n \Delta \omega} \right| \gg 1 \quad (34)$$

совпадают. Для демпфирующей системы квадрат когерентного сдвига частоты Ω_n^2 может быть заменен на $\lambda_n n \Delta \omega$ — прединтегральный множитель в $\varepsilon_n(\omega)$. При этом (34) переходит в (33).

6. Проведенный анализ показывает, что в условиях, когда колективный отклик пучка успевает развиться за время нахождения частиц в области взаимодействия ($\sim \tilde{\tau}_0$), кинетическое уравнение вообще говоря не сводится к уравнению типа Леннарда-Балеску. Отличие от этого уравнения тем сильнее, чем больше радиус действия сил в системе и чем холоднее пучок ($\Delta \omega \rightarrow 0$). Выполнение этих условий в методе стохастического охлаждения приводит к тому, что при охлаждении пучка декременты асимптотически уменьшаются до λ_{min} , определяемого формулой (28), а мощность шумов пучка до

$$Q_n^{min} = \frac{n \Delta \omega}{\lambda_0 \theta_0^2}$$

Усложнение цепи обратной связи может несколько отодвинуть пороги выхода на асимптотику, но не меняет асимптотического поведения декрементов. То, что колективные эффекты влияют на кинетику охлаждения не только через $\varepsilon_n(\omega)$, но и через $d\varepsilon/d\omega$ может представлять определенный интерес для антипротонных проектов, где поведение пучка при накоплении прогнозируется численным решением соответствующего кинетического уравнения (см., например, II).

Авторы благодарны Я.С.Дербеневу, И.Н.Мешкову и В.В.Пархомчуку за обсуждение затронутых здесь вопросов.

Литература

- I. S. van der Meer. CERN/ISR-PO/72-31, 1972.
 2. F. Sacherer. CERN-ISR-TH/78-11, 1978; D. Möhl, et al.
Phys. Reports, 58, N2, 76, 1980.
 3. Я.С.Дербенев, С.А.Хейфец. ЖТФ, 49, № 2, 352, 1979;
там же, стр.363.
 4. J.J. Bisognano. Proc of the XI Intern. Conf. on
High-Energy Accelerators, CERN, Geneva, 772, 1980.
 5. Н.И.Зиневич, М.М.Карлинер. ИЯФ СО АН СССР, Препринт 82-43,
Новосибирск 1982.
 6. В.В.Пархомчук, Д.В.Пестриков. ИЯФ СО АН СССР, Препринт
80-170, Новосибирск 1980.
 7. Ю.Л.Климонтович. Статистическая теория неравновесных про-
цессов в плазме. Издательство МГУ, 1964.
 8. Е.Н.Дементьев и др. ЖТФ, 52, № 10, 1993, 1982.
 9. Я.С.Дербенев, Н.С.Диканский, Д.В.Пестриков. Труды II Всесо-
юзного совещания по ускорителям заряженных частиц. Москва.
1970.
 10. В.В.Пархомчук, Д.В.Пестриков. ЖТФ, 50, № 7, 14II, 1980.
- II. THE FERMILAB ANTI-PROTON SOURCE DESIGN
REPORT. FNAL, 1982.

Н.С.Диканский, Д.В.Пестриков

К ТЕОРИИ СТОХАСТИЧЕСКОГО ОХЛАЖДЕНИЯ

Препринт
№ 83- 65

Работа поступила - 1 июня 1983 г.

Ответственный за выпуск - С.Г.Попов
Подписано к печати 17.6.1983 г. МН 17595
Формат бумаги 60x90 I/16 Усл.0,8 печ.л., 0,6 учетно-изд.л.
Тираж 290 экз. Бесплатно. Заказ №65.

Ротапринт ИЯФ СО АН СССР, г.Новосибирск, 90